

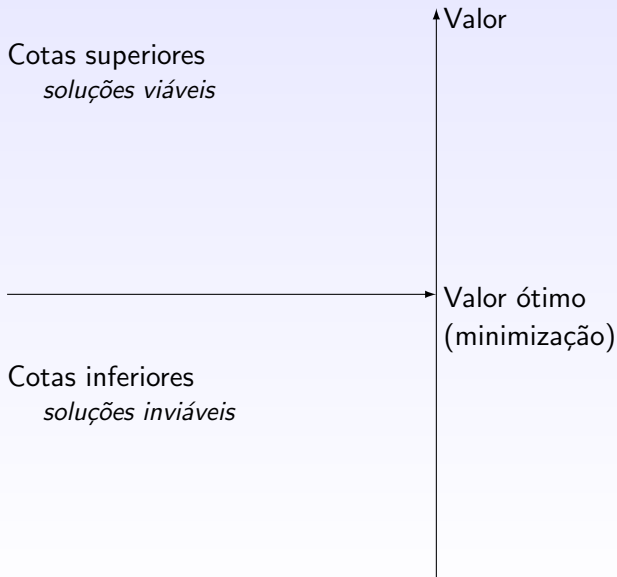
Relaxação Lagrangiana

Margarida P. Mello

MT852 – 15 de maio, 2009

- 1 Contexto
- 2 Teoria
- 3 Aspectos práticos
- 4 Heurística lagrangiana
- 5 Redução do problema
- 6 Aplicações
- 7 Referências

Contexto



Heurísticas

Destinadas a classes específicas

Busca local

Têmpera simulada

Algoritmos genéticos

Redes neurais

...

Relaxações

Linear

Lagrangiana

Valor

Valor ótimo
(minimização)

Usos

- como um método

- como um método
- como um coadjuvante (e.g., R.L. + B&B)

- como um método
- como um coadjuvante (e.g., R.L. + B&B)
- na avaliação de resultados obtidos com outras heurísticas

Problema linear inteiro

$$(PI) \quad \min \quad z_{PI} = cx$$

$$\text{s.a} \quad A^1 x \geq b^1$$

$$A^2 x \geq b^2$$

$$x_j \in \mathbb{Z}, \quad \forall j$$

Problema linear inteiro

$$(PI) \quad \min \quad z_{PI} = cx$$

$$\text{s.a} \quad A^1 x \geq b^1$$

$$A^2 x \geq b^2$$

$$x_j \in \mathbb{Z}, \quad \forall j$$

Se $\lambda \geq 0$, $z_{PI} \geq z'$:

$$\min \quad z' = cx + \lambda(b^1 - A^1 x)$$

$$\text{s.a} \quad A^1 x \geq b^1$$

$$A^2 x \geq b^2$$

$$x_j \in \mathbb{Z}, \quad \forall j$$

Problema linear inteiro

$$\begin{aligned}
 (PI) \quad & \min \quad z_{PI} = cx \\
 & \text{s.a} \quad A^1 x \geq b^1 \\
 & \quad \quad A^2 x \geq b^2 \\
 & \quad \quad x_j \in \mathbb{Z}_+, \quad \forall j
 \end{aligned}$$

E $z' \geq z(\lambda)$:

$$\begin{aligned}
 (PR_\lambda) \quad & \min \quad z(\lambda) = cx + \lambda(b^1 - A^1 x) \\
 & \text{s.a} \quad A^2 x \geq b^2 \\
 & \quad \quad x_j \in \mathbb{Z}_+, \quad \forall j
 \end{aligned}$$

Problema linear inteiro

$$\begin{aligned}
 (PI) \quad & \min \quad z_{PI} = cx \\
 & \text{s.a} \quad A^1 x \geq b^1 \\
 & \quad \quad A^2 x \geq b^2 \\
 & \quad \quad x_j \in \mathbb{Z}_+, \quad \forall j
 \end{aligned}$$

E $z' \geq z(\lambda)$:

$$\begin{aligned}
 (PR_\lambda) \quad & \min \quad z(\lambda) = cx + \lambda(b^1 - A^1 x) \\
 & \text{s.a} \quad \left. \begin{aligned} & A^2 x \geq b^2 \\ & x_j \in \mathbb{Z}_+, \quad \forall j \end{aligned} \right\} Q
 \end{aligned}$$

Resultado importante

Dual Lagrangiano (melhor cota inferior)

Resultado importante

Dual Lagrangiano (melhor cota inferior)

$$(DL) \quad z_{DL} = \max_{\lambda \geq 0} z(\lambda)$$

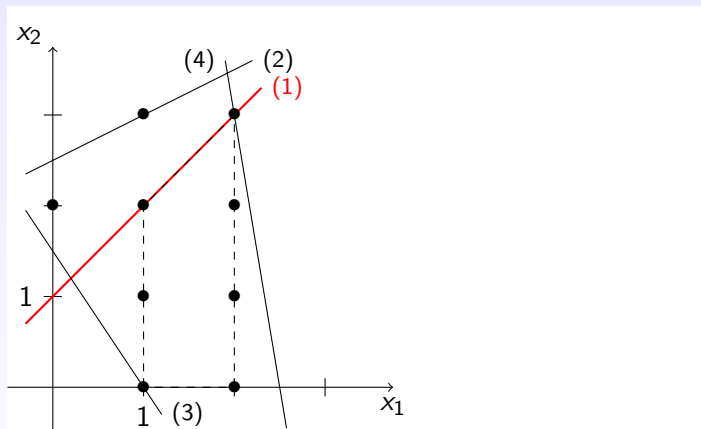
Teorema (Nemhauser & Wolsey, p. 327–328)

$$z_{DL} = \min\{cx \mid A^1x \geq b^1, \quad x \in \text{conv}(Q)\}$$

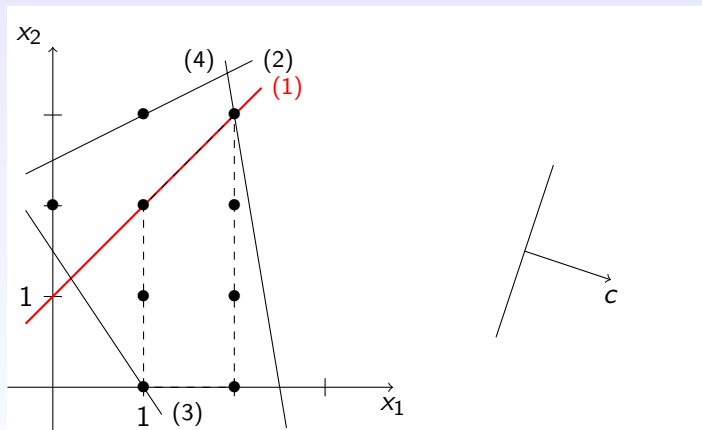
Problema

$$\begin{array}{llllll}
 \min & 3x_1 & - & x_2 & & \\
 \text{s.a} & \color{red}{x_1} & - & \color{red}{x_2} & \geq & \color{red}{-1} \quad (1) \\
 & -x_1 & + & 2x_2 & \leq & 5 \quad (2) \\
 & 3x_1 & + & 2x_2 & \geq & 3 \quad (3) \\
 & 6x_1 & + & x_2 & \leq & 15 \quad (4) \\
 & & & x_1, x_2 & \geq & 0 \\
 & & & x_1, x_2 & \in & \mathbb{Z}
 \end{array}$$

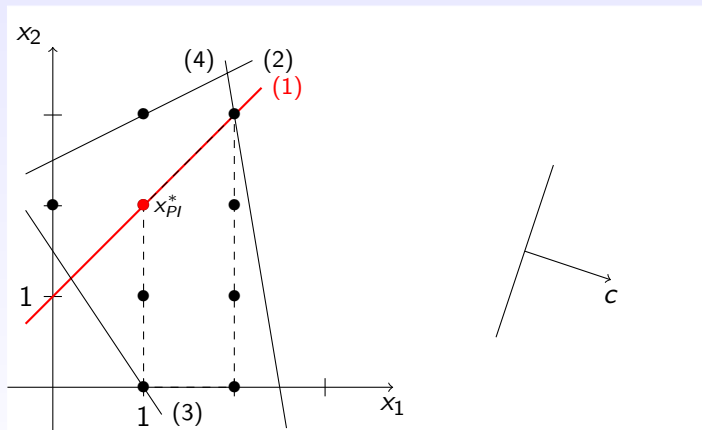
Exemplo — cont.



Exemplo — cont.



Exemplo — cont.



Exemplo — cont.

Roteiro

Contexto

Teoria

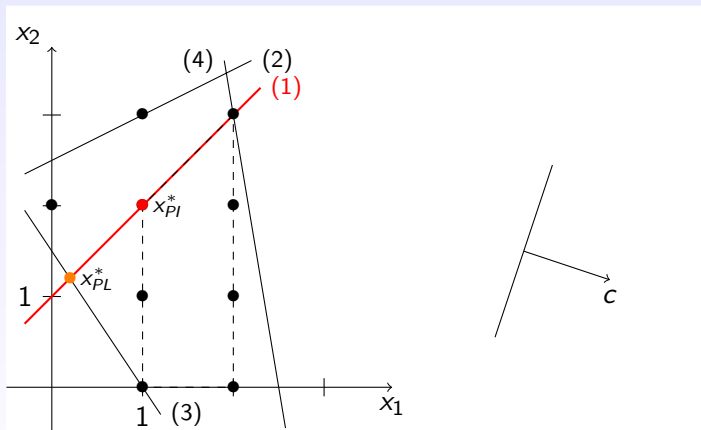
Aspectos
práticos

Heurística
lagrangiana

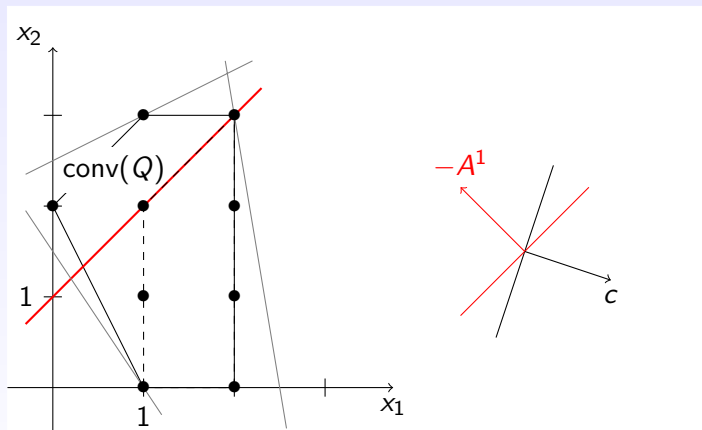
Redução do
problema

Aplicações

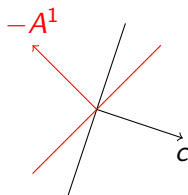
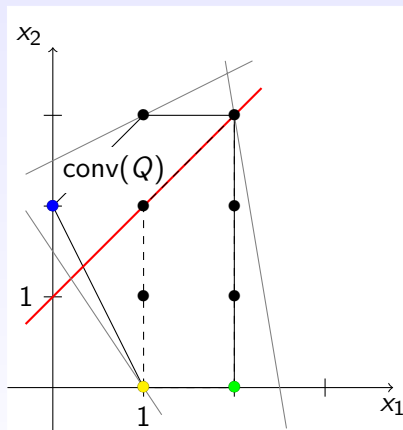
Referências



Exemplo — cont.



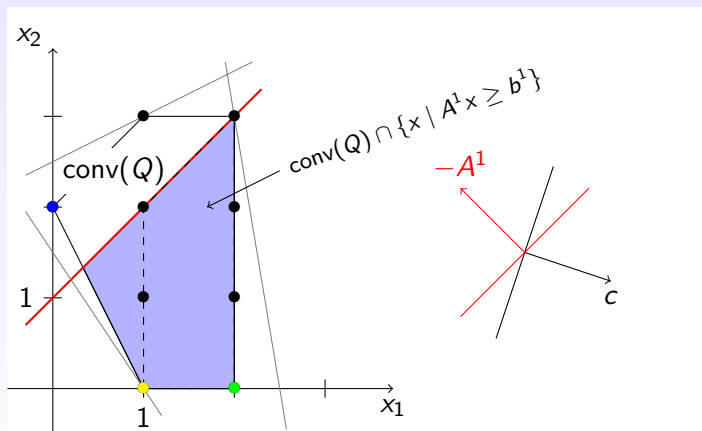
Exemplo — cont.



λ	$(0, 5/3)$	$(5/3, 3)$	$(3, \infty)$
$x^*(\lambda)$	$(0, 2)$	$(1, 0)$	$(2, 0)$
$z(\lambda)$	$-2 + \lambda$	$3 - 2\lambda$	$6 - 3\lambda$

$$\Rightarrow z_{DL} = z\left(\frac{5}{3}\right) = -\frac{1}{3}$$

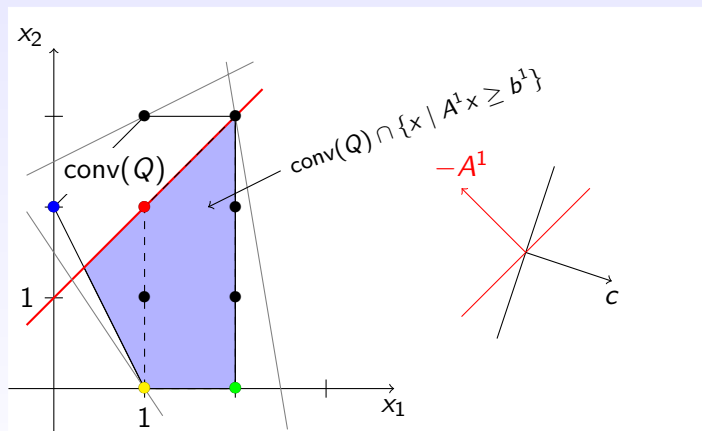
Exemplo — cont.



λ	$(0, 5/3)$	$(5/3, 3)$	$(3, \infty)$
$x^*(\lambda)$	$(0, 2)$	$(1, 0)$	$(2, 0)$
$z(\lambda)$	$-2 + \lambda$	$3 - 2\lambda$	$6 - 3\lambda$

$$\Rightarrow z_{DL} = z\left(\frac{5}{3}\right) = -\frac{1}{3}$$

Exemplo — cont.



λ	$(0, 5/3)$	$(5/3, 3)$	$(3, \infty)$
$x^*(\lambda)$	$(0, 2)$	$(1, 0)$	$(2, 0)$
$z(\lambda)$	$-2 + \lambda$	$3 - 2\lambda$	$6 - 3\lambda$

$$\Rightarrow z_{DL} = cx_{DL}^* = -\frac{1}{3}$$

Exemplo — cont.

Roteiro

Contexto

Teoria

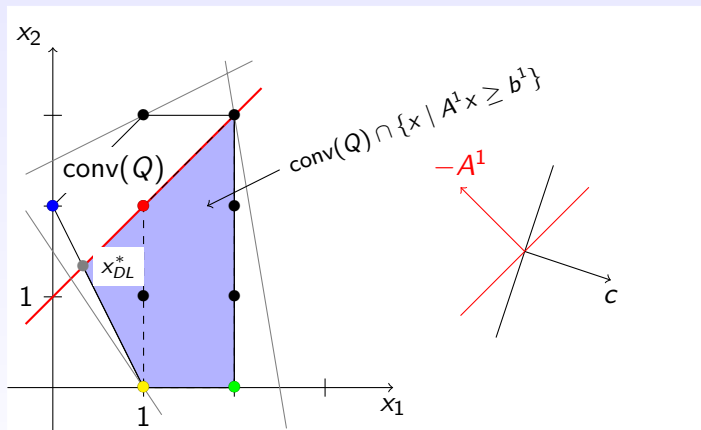
Aspectos
práticos

Heurística
lagrangiana

Redução do
problema

Aplicações

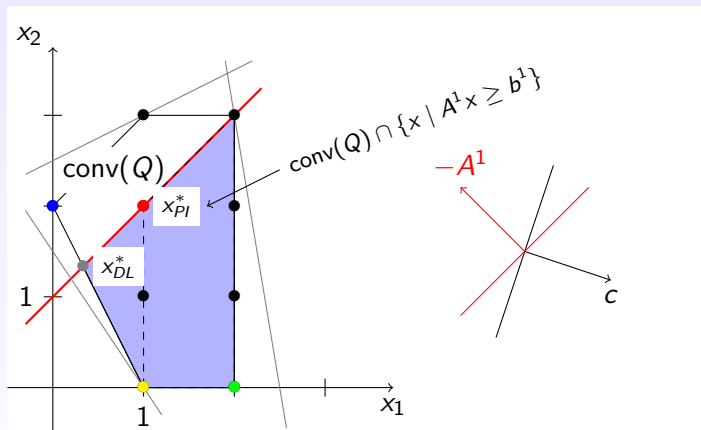
Referências



λ	$(0, 5/3)$	$(5/3, 3)$	$(3, \infty)$
$x^*(\lambda)$	$(0, 2)$	$(1, 0)$	$(2, 0)$
$z(\lambda)$	$-2 + \lambda$	$3 - 2\lambda$	$6 - 3\lambda$

$$\Rightarrow z_{DL} = cx_{DL}^* = -\frac{1}{3}$$

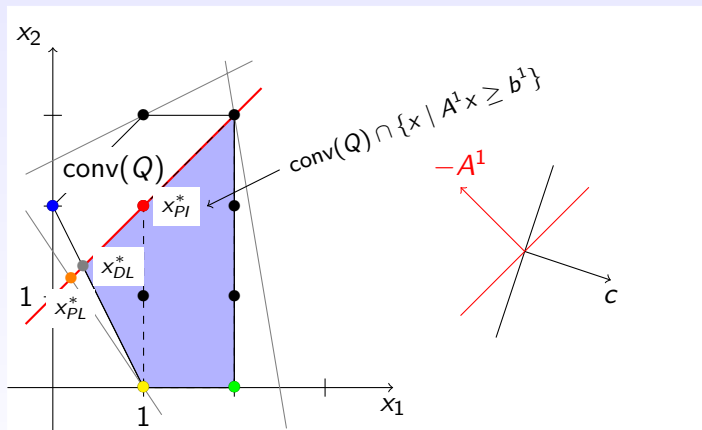
Exemplo — cont.



λ	$(0, 5/3)$	$(5/3, 3)$	$(3, \infty)$
$x^*(\lambda)$	$(0, 2)$	$(1, 0)$	$(2, 0)$
$z(\lambda)$	$-2 + \lambda$	$3 - 2\lambda$	$6 - 3\lambda$

$$\Rightarrow z_{DL} = cx_{DL}^* = -\frac{1}{3}$$

Exemplo — cont.



λ	$(0, 5/3)$	$(5/3, 3)$	$(3, \infty)$
$x^*(\lambda)$	$(0, 2)$	$(1, 0)$	$(2, 0)$
$z(\lambda)$	$-2 + \lambda$	$3 - 2\lambda$	$6 - 3\lambda$

$$\Rightarrow z_{DL} = c x_{DL}^* = -\frac{1}{3}$$

Exemplo — cont.

Gap de dualidade

Gap de dualidade

$$z_{PI} - z_{DL} = 1 - \left(-\frac{1}{3}\right) = \frac{4}{3}$$

Gap de dualidade

$$z_{PI} - z_{DL} = 1 - \left(-\frac{1}{3}\right) = \frac{4}{3}$$

Comparando com relaxação linear

$$x_{PL} = \left(\frac{1}{5}, \frac{6}{5}\right) \Rightarrow z_{PL} = -\frac{3}{5}$$

Gap de dualidade

$$z_{PI} - z_{DL} = 1 - \left(-\frac{1}{3}\right) = \frac{4}{3}$$

Comparando com relaxação linear

$$x_{PL} = \left(\frac{1}{5}, \frac{6}{5}\right) \Rightarrow z_{PL} = -\frac{3}{5}$$

Logo

$$z_{PI} > z_{DL} > z_{PL}$$

Gap de dualidade

$$z_{PI} - z_{DL} = 1 - \left(-\frac{1}{3}\right) = \frac{4}{3}$$

Comparando com relaxação linear

$$x_{PL} = \left(\frac{1}{5}, \frac{6}{5}\right) \Rightarrow z_{PL} = -\frac{3}{5}$$

Logo

$$z_{PI} > z_{DL} > z_{PL}$$

Note que $x^*(\lambda^*)$ é viável para (PI) , porém não é ótima para (PI) .

Demonstração

Fato (N&W, p. 106): se dados são racionais, $\text{conv}(Q)$ é poliedro racional e $\min\{dx \mid x \in Q\} = \min\{dx \mid x \in \text{conv}(Q)\}$.

Demonstração

Fato (N&W, p. 106): se dados são racionais, $\text{conv}(Q)$ é poliedro racional e $\min\{dx \mid x \in Q\} = \min\{dx \mid x \in \text{conv}(Q)\}$.

$$\text{conv}(Q) = \text{conv}(P) + \text{conic}(R).$$

Fato (N&W, p. 106): se dados são racionais, $\text{conv}(Q)$ é poliedro racional e $\min\{dx \mid x \in Q\} = \min\{dx \mid x \in \text{conv}(Q)\}$.

$$\text{conv}(Q) = \text{conv}(P) + \text{conic}(R).$$

$$\begin{aligned} z(\lambda) &= \min\{(c - \lambda A^1)x + \lambda b^1 \mid x \in Q\} \\ &= \min\{cx + \lambda(b^1 - A^1x) \mid x \in \text{conv}(Q)\} \\ &= \begin{cases} +\infty, & \text{se } Q = P = \emptyset \\ -\infty, & \text{se } \exists r^j \in R \mid (c - \lambda A^1)r^j < 0 \\ cx^k + \lambda(b^1 - A^1)x^k, & \text{c.c., para algum } x^k \in P \end{cases} \end{aligned}$$

Logo

$$z_{DL} = \max_{\lambda \geq 0} \min_{x \in \text{conv}(Q)} \{cx + \lambda(b^1 - A^1x)\}$$

Logo

$$z_{DL} = \max_{\lambda \geq 0} \min_{x \in \text{conv}(Q)} \{cx + \lambda(b^1 - A^1x)\}$$

$$= \max_{z, \lambda}$$

$$z \leq cx^k + \lambda(b^1 - A^1x^k), \quad \forall x^k \in P$$

$$(c - \lambda A^1)r^j \geq 0, \quad \forall r^j \in R$$

$$\lambda \geq 0$$

Logo

$$z_{DL} = \max_{\lambda \geq 0} \min_{x \in \text{conv}(Q)} \{cx + \lambda(b^1 - A^1x)\}$$

$$= \max_{z, \lambda} z$$

$$z \leq cx^k + \lambda(b^1 - A^1x^k), \quad \forall x^k \in P$$

$$(c - \lambda A^1)r^j \geq 0, \quad \forall r^j \in R$$

$$\lambda \geq 0$$

$$= \max_{z, \lambda} z$$

$$z + \lambda(A^1x^k - b^1) \leq cx^k, \quad \forall x^k \in P$$

$$\lambda A^1r^j \leq cr^j, \quad \forall r^j \in R$$

$$\lambda \geq 0$$

Teor. de dualidade de PL \Rightarrow

$$\begin{aligned} z_{DL} = \min \quad & c \left(\sum_k \alpha_k x^k + \sum_j \mu_j r^j \right) \\ & \sum_k \alpha_k = 1 \\ & A^1 \left(\sum_k \alpha_k x^k + \sum_j \mu_j r^j \right) \geq b^1 \left(\sum_k \alpha_k \right) \\ & \alpha_k, \mu_j \geq 0, \quad \forall k, j \end{aligned}$$

Teor. de dualidade de PL \Rightarrow

$$\begin{aligned}
 z_{DL} = \min \quad & c \left(\sum_k \alpha_k x^k + \sum_j \mu_j r^j \right) \\
 & \sum_k \alpha_k = 1 \\
 & A^1 \left(\sum_k \alpha_k x^k + \sum_j \mu_j r^j \right) \geq b^1 \left(\sum_k \alpha_k \right) \\
 & \alpha_k, \mu_j \geq 0, \quad \forall k, j
 \end{aligned}$$

$$\begin{aligned}
 = \min_{\text{s.a}} \quad & cx \\
 & A^1 x \geq b^1 \\
 & x \in \text{conv}(Q)
 \end{aligned}$$



Corolário

Se

$$\text{conv}(Q) \cap \{x \mid A^2x \geq b^2\} = \\ \text{conv}\{x \mid A^1x \geq b^1, A^2x \geq b^2, x_j \in \mathbb{Z}_+\},$$

então cota fornecida por relaxação lagrangiana coincide com cota fornecida por relaxação linear.

Questões importantes

Roteiro

Contexto

Teoria

Aspectos
práticos

Heurística
lagrangiana

Redução do
problema

Aplicações

Referências

- **Estratégia:** quais restrições relaxar/dualizar?
Levar em consideração

Questões importantes

Roteiro

Contexto

Teoria

Aspectos
práticos

Heurística
lagrangiana

Redução do
problema

Aplicações

Referências

- **Estratégia:** quais restrições relaxar/dualizar?
Levar em consideração
 - a qualidade da cota z_{DL}

Questões importantes

Roteiro

Contexto

Teoria

Aspectos
práticos

Heurística
lagrangiana

Redução do
problema

Aplicações

Referências

- **Estratégia:** quais restrições relaxar/dualizar?
Levar em consideração
 - a qualidade da cota z_{DL}
 - a facilidade de solução de (PR_λ)

Questões importantes

Roteiro

Contexto

Teoria

Aspectos
práticos

Heurística
lagrangiana

Redução do
problema

Aplicações

Referências

- **Estratégia:** quais restrições relaxar/dualizar?
Levar em consideração
 - a qualidade da cota z_{DL}
 - a facilidade de solução de (PR_λ)
 - a facilidade de solução de (DL)

Questões importantes

- **Estratégia:** quais restrições relaxar/dualizar?
Levar em consideração
 - a qualidade da cota z_{DL}
 - a facilidade de solução de (PR_λ)
 - a facilidade de solução de (DL)
- **Tática:** como estimar/atualizar λ ?

Questões importantes

- **Estratégia:** quais restrições relaxar/dualizar?
Levar em consideração
 - a qualidade da cota z_{DL}
 - a facilidade de solução de (PR_λ)
 - a facilidade de solução de (DL)
- **Tática:** como estimar/atualizar λ ?
 - método do subgradiente

Método do subgradiente

$$\begin{aligned} (PR_\lambda) \quad & \max \quad z(\lambda) = cx + \lambda(b - Ax) \\ & \text{s.a} \quad x \in X \end{aligned}$$

Método do subgradiente

$$(PR_{\lambda}) \quad \max \quad z(\lambda) = cx + \lambda(b - Ax)$$

$$\text{s.a.} \quad x \in X$$

- $z(\lambda)$ é convexa, linear por partes.

Método do subgradiente

Roteiro

Contexto

Teoria

Aspectos
práticos

Heurística
lagrangiana

Redução do
problema

Aplicações

Referências

$$(PR_{\lambda}) \quad \max \quad z(\lambda) = cx + \lambda(b - Ax)$$

$$\text{s.a.} \quad x \in X$$

- $z(\lambda)$ é convexa, linear por partes.
- $(b - Ax^*(\lambda)) \in \partial z(\lambda)$

Método do subgradiente

Roteiro

Contexto

Teoria

Aspectos
práticos

Heurística
lagrangiana

Redução do
problema

Aplicações

Referências

$$(PR_{\lambda}) \quad \max \quad z(\lambda) = cx + \lambda(b - Ax)$$

$$\text{s.a.} \quad x \in X$$

- $z(\lambda)$ é convexa, linear por partes.
- $(b - Ax^*(\lambda)) \in \partial z(\lambda)$

Problema de cobertura

$$\begin{array}{ll} (PI) \min & cx \\ \text{s.a} & Ax \geq \mathbf{1} \\ & x_j \in \{0, 1\} \quad \forall j \end{array}$$

Problema de cobertura

$$\begin{aligned} (PI) \quad & \min \quad cx \\ & \text{s.a} \quad Ax \geq \mathbf{1} \\ & \quad \quad x_j \in \{0, 1\} \quad \forall j \end{aligned}$$

Dualizando restrições de cobertura

$$\begin{aligned} (PR_\lambda) \quad & \min \quad (c - \lambda A)x + \sum_i \lambda_i = Cx + \sum_i \lambda_i \\ & \text{s.a} \quad x_j \in \{0, 1\} \quad \forall j \end{aligned}$$

Problema de cobertura

$$\begin{aligned} (PI) \quad & \min \quad cx \\ & \text{s.a} \quad Ax \geq \mathbf{1} \\ & \quad \quad x_j \in \{0, 1\} \quad \forall j \end{aligned}$$

Dualizando restrições de cobertura

$$\begin{aligned} (PR_\lambda) \quad & \min \quad (c - \lambda A)x + \sum_i \lambda_i = Cx + \sum_i \lambda_i \\ & \text{s.a} \quad x_j \in \{0, 1\} \quad \forall j \end{aligned}$$

Solução ótima

$$x_j^*(\lambda) = \begin{cases} 1, & \text{se } C_j \leq 0 \\ 0, & \text{c.c.} \end{cases}$$

Problema da mochila

$$\begin{aligned} z = \max \quad & 10y_1 + 4y_2 + 14y_3 \\ & 3y_1 + y_2 + 4y_3 \leq 4 \\ & y \in B^3. \end{aligned}$$

Problema da mochila

$$\begin{aligned} z = \max \quad & 10y_1 + 4y_2 + 14y_3 \\ & 3y_1 + y_2 + 4y_3 \leq 4 \\ & y \in B^3. \end{aligned}$$

Dualizando a restrição de capacidade

$$z_{DL} = \min_{\lambda \geq 0} z(\lambda),$$

Problema da mochila

$$\begin{aligned} z = \max \quad & 10y_1 + 4y_2 + 14y_3 \\ & 3y_1 + y_2 + 4y_3 \leq 4 \\ & y \in B^3. \end{aligned}$$

Dualizando a restrição de capacidade

$$z_{DL} = \min_{\lambda \geq 0} z(\lambda),$$

$$z(\lambda) = \max_{y \in B^3} (10 - 3\lambda)y_1 + (4 - \lambda)y_2 + (14 - \lambda)y_3 + 4\lambda$$

onde $\lambda \geq 0$.

Exemplo — cont

Roteiro

Contexto

Teoria

Aspectos
práticos

Heurística
lagrangiana

Redução do
problema

Aplicações

Referências

Logo

$$z(\lambda) = \max\{0, 10 - 3\lambda\} + \max\{0, 4 - \lambda\} \\ + \max\{0, 14 - 4\lambda\} + 4\lambda$$

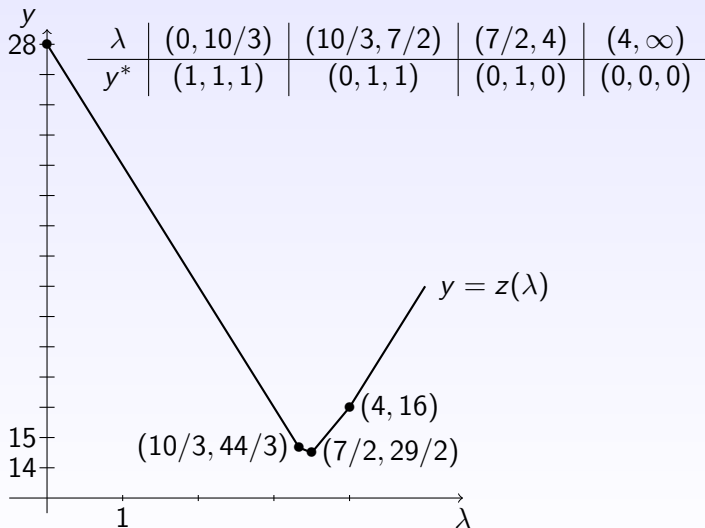
Exemplo — cont

Logo

$$z(\lambda) = \max\{0, 10 - 3\lambda\} + \max\{0, 4 - \lambda\} \\ + \max\{0, 14 - 4\lambda\} + 4\lambda$$

$z(\lambda)$ = função convexa, linear por partes

Exemplo — cont



Exemplo — cont

$$\lambda^{k+1} = \max\{\lambda^k - \mu_k(4 - 3y_1^* - y_2^* - 4y_3^*), 0\}$$

Roteiro

Contexto

Teoria

Aspectos
práticos

Heurística
lagrangiana

Redução do
problema

Aplicações

Referências

Exemplo — cont

$$\lambda^{k+1} = \max\{\lambda^k - \mu_k(4 - 3y_1^* - y_2^* - 4y_3^*), 0\}$$

$$\mu_k = \mu_0 \rho^k, \text{ com } \lambda^0 = 0, \mu_0 = 1 \text{ e } \rho = 1/2$$

Roteiro

Contexto

Teoria

Aspectos
práticos

Heurística
lagrangiana

Redução do
problema

Aplicações

Referências

Exemplo — cont

$$\lambda^{k+1} = \max\{\lambda^k - \mu_k(4 - 3y_1^* - y_2^* - 4y_3^*), 0\}$$

$$\mu_k = \mu_0 \rho^k, \text{ com } \lambda^0 = 0, \mu_0 = 1 \text{ e } \rho = 1/2$$

k	λ	μ
0	0	1

Exemplo — cont

$$\lambda^{k+1} = \max\{\lambda^k - \mu_k(4 - 3y_1^* - y_2^* - 4y_3^*), 0\}$$

$$\mu_k = \mu_0 \rho^k, \text{ com } \lambda^0 = 0, \mu_0 = 1 \text{ e } \rho = 1/2$$

k	λ	μ
0	0	1
1	$\max\{0 - 1(4 - 3 - 1 - 4), 0\} = 4$	1/2

Exemplo — cont

$$\lambda^{k+1} = \max\{\lambda^k - \mu_k(4 - 3y_1^* - y_2^* - 4y_3^*), 0\}$$

$$\mu_k = \mu_0 \rho^k, \text{ com } \lambda^0 = 0, \mu_0 = 1 \text{ e } \rho = 1/2$$

k	λ	μ
0	0	1
1	$\max\{0 - 1(4 - 3 - 1 - 4), 0\} = 4$	1/2
2	$\max\{4 - \frac{1}{2}(4 - 0 - 1 - 0), 0\} = 2\frac{1}{2}$	1/4

Roteiro

Contexto

Teoria

Aspectos
práticos

Heurística
lagrangiana

Redução do
problema

Aplicações

Referências

Exemplo — cont

$$\lambda^{k+1} = \max\{\lambda^k - \mu_k(4 - 3y_1^* - y_2^* - 4y_3^*), 0\}$$

$$\mu_k = \mu_0 \rho^k, \text{ com } \lambda^0 = 0, \mu_0 = 1 \text{ e } \rho = 1/2$$

k	λ	μ
0	0	1
1	$\max\{0 - 1(4 - 3 - 1 - 4), 0\} = 4$	$1/2$
2	$\max\{4 - \frac{1}{2}(4 - 0 - 1 - 0), 0\} = 2\frac{1}{2}$	$1/4$
3	$\max\{\frac{5}{2} - \frac{1}{4}(4 - 3 - 1 - 4), 0\} = 3\frac{1}{2}$	$1/8$

Roteiro

Contexto

Teoria

Aspectos
práticos

Heurística
lagrangiana

Redução do
problema

Aplicações

Referências

Exemplo — cont

$$\lambda^{k+1} = \max\{\lambda^k - \mu_k(4 - 3y_1^* - y_2^* - 4y_3^*), 0\}$$

$$\mu_k = \mu_0 \rho^k, \text{ com } \lambda^0 = 0, \mu_0 = 1 \text{ e } \rho = 1/2$$

k	λ	μ
0	0	1
1	$\max\{0 - 1(4 - 3 - 1 - 4), 0\} = 4$	1/2
2	$\max\{4 - \frac{1}{2}(4 - 0 - 1 - 0), 0\} = 2\frac{1}{2}$	1/4
3	$\max\{\frac{5}{2} - \frac{1}{4}(4 - 3 - 1 - 4), 0\} = 3\frac{1}{2}$	1/8
4	$\max\{\frac{7}{2} - \frac{1}{8}(4 - 0 - 1 - 4), 0\} = 3\frac{5}{8}$	1/16

Exemplo — cont

$$\lambda^{k+1} = \max\{\lambda^k - \mu_k(4 - 3y_1^* - y_2^* - 4y_3^*), 0\}$$

$$\mu_k = \mu_0 \rho^k, \text{ com } \lambda^0 = 0, \mu_0 = 1 \text{ e } \rho = 1/2$$

k	λ	μ
0	0	1
1	$\max\{0 - 1(4 - 3 - 1 - 4), 0\} = 4$	1/2
2	$\max\{4 - \frac{1}{2}(4 - 0 - 1 - 0), 0\} = 2\frac{1}{2}$	1/4
3	$\max\{\frac{5}{2} - \frac{1}{4}(4 - 3 - 1 - 4), 0\} = 3\frac{1}{2}$	1/8
4	$\max\{\frac{7}{2} - \frac{1}{8}(4 - 0 - 1 - 4), 0\} = 3\frac{5}{8}$	1/16
5	$\max\{\frac{29}{8} - \frac{1}{16}(4 - 0 - 1 - 0), 0\} = 3\frac{7}{16}$	1/32

Exemplo — cont

$$\lambda^{k+1} = \max\{\lambda^k - \mu_k(4 - 3y_1^* - y_2^* - 4y_3^*), 0\}$$

$$\mu_k = \mu_0 \rho^k, \text{ com } \lambda^0 = 0, \mu_0 = 1 \text{ e } \rho = 1/2$$

k	λ	μ
0	0	1
1	$\max\{0 - 1(4 - 3 - 1 - 4), 0\} = 4$	$1/2$
2	$\max\{4 - \frac{1}{2}(4 - 0 - 1 - 0), 0\} = 2\frac{1}{2}$	$1/4$
3	$\max\{\frac{5}{2} - \frac{1}{4}(4 - 3 - 1 - 4), 0\} = 3\frac{1}{2}$	$1/8$
4	$\max\{\frac{7}{2} - \frac{1}{8}(4 - 0 - 1 - 4), 0\} = 3\frac{5}{8}$	$1/16$
5	$\max\{\frac{29}{8} - \frac{1}{16}(4 - 0 - 1 - 0), 0\} = 3\frac{7}{16}$	$1/32$
6	$\max\{\frac{55}{16} - \frac{1}{32}(4 - 0 - 1 - 4), 0\} = 3\frac{15}{32}$	$1/64$

Exemplo — cont

$$\lambda^{k+1} = \max\{\lambda^k - \mu_k(4 - 3y_1^* - y_2^* - 4y_3^*), 0\}$$

$$\mu_k = \mu_0 \rho^k, \text{ com } \lambda^0 = 0, \mu_0 = 1 \text{ e } \rho = 1/2$$

k	λ	μ
0	0	1
1	$\max\{0 - 1(4 - 3 - 1 - 4), 0\} = 4$	1/2
2	$\max\{4 - \frac{1}{2}(4 - 0 - 1 - 0), 0\} = 2\frac{1}{2}$	1/4
3	$\max\{\frac{5}{2} - \frac{1}{4}(4 - 3 - 1 - 4), 0\} = 3\frac{1}{2}$	1/8
4	$\max\{\frac{7}{2} - \frac{1}{8}(4 - 0 - 1 - 4), 0\} = 3\frac{5}{8}$	1/16
5	$\max\{\frac{29}{8} - \frac{1}{16}(4 - 0 - 1 - 0), 0\} = 3\frac{7}{16}$	1/32
6	$\max\{\frac{55}{16} - \frac{1}{32}(4 - 0 - 1 - 4), 0\} = 3\frac{15}{32}$	1/64
7	$\max\{\frac{111}{32} - \frac{1}{64}(4 - 0 - 1 - 4), 0\} = 3\frac{31}{64}$	1/128

Exemplo — cont

$$\lambda^{k+1} = \max\{\lambda^k - \mu_k(4 - 3y_1^* - y_2^* - 4y_3^*), 0\}$$

$$\mu_k = \mu_0 \rho^k, \text{ com } \lambda^0 = 0, \mu_0 = 1 \text{ e } \rho = 1/2$$

k	λ	μ
0	0	1
1	$\max\{0 - 1(4 - 3 - 1 - 4), 0\} = 4$	1/2
2	$\max\{4 - \frac{1}{2}(4 - 0 - 1 - 0), 0\} = 2\frac{1}{2}$	1/4
3	$\max\{\frac{5}{2} - \frac{1}{4}(4 - 3 - 1 - 4), 0\} = 3\frac{1}{2}$	1/8
4	$\max\{\frac{7}{2} - \frac{1}{8}(4 - 0 - 1 - 4), 0\} = 3\frac{5}{8}$	1/16
5	$\max\{\frac{29}{8} - \frac{1}{16}(4 - 0 - 1 - 0), 0\} = 3\frac{7}{16}$	1/32
6	$\max\{\frac{55}{16} - \frac{1}{32}(4 - 0 - 1 - 4), 0\} = 3\frac{15}{32}$	1/64
7	$\max\{\frac{111}{32} - \frac{1}{64}(4 - 0 - 1 - 4), 0\} = 3\frac{31}{64}$	1/128
8	$\max\{\frac{223}{64} - \frac{1}{128}(4 - 0 - 1 - 4), 0\} = 3\frac{63}{128}$	1/256

Exemplo — cont

Embora $\lambda^3 = 7/2 = \lambda^*$, o subgradiente

$$(b - Ay^*(\lambda^3)) = 4 - 0 - 1 - 4 \neq 0$$

Roteiro

Contexto

Teoria

Aspectos
práticos

Heurística
lagrangiana

Redução do
problema

Aplicações

Referências

Exemplo — cont

Embora $\lambda^3 = 7/2 = \lambda^*$, o subgradiente

$$(b - Ay^*(\lambda^3)) = 4 - 0 - 1 - 4 \neq 0$$

\Rightarrow otimalidade não é detectada

Exemplo — cont

Embora $\lambda^3 = 7/2 = \lambda^*$, o subgradiente

$$(b - Ay^*(\lambda^3)) = 4 - 0 - 1 - 4 \neq 0$$

\Rightarrow otimalidade não é detectada

$$\text{Indução} \quad \Rightarrow \quad \lambda^k = 3 + \frac{7}{16} + \frac{1}{32} \sum_{i=0}^{k-6} \left(\frac{1}{2}\right)^i, \text{ para } k \geq 6$$

Exemplo — cont

Roteiro

Contexto

Teoria

Aspectos
práticos

Heurística
lagrangiana

Redução do
problema

Aplicações

Referências

Embora $\lambda^3 = 7/2 = \lambda^*$, o subgradiente

$$(b - Ay^*(\lambda^3)) = 4 - 0 - 1 - 4 \neq 0$$

\Rightarrow otimalidade não é detectada

$$\text{Indução} \quad \Rightarrow \quad \lambda^k = 3 + \frac{7}{16} + \frac{1}{32} \sum_{i=0}^{k-6} \left(\frac{1}{2}\right)^i, \text{ para } k \geq 6$$

Logo

$$\lambda^k \xrightarrow[k \rightarrow \infty]{} 3 + \frac{7}{16} + \frac{2}{32} = \frac{7}{2}$$

Exemplo

Problema simétrico do caixeiro viajante (Held & Karp)

$$\begin{aligned} (PI) \quad & \min \quad \sum_{e \in E} c_e x_e \\ & \text{s.a} \quad \sum_{e \in \delta(i)} x_e = 2 \quad \forall i \in V \\ & \quad \sum_{e \in E(S)} x_e \leq |S| - 1 \quad \forall 2 \leq |S| \leq |V| - 1 \\ & \quad x_j \in \{0, 1\} \quad \forall j \end{aligned}$$

Exemplo

Roteiro

Contexto

Teoria

Aspectos
práticos

Heurística
lagrangiana

Redução do
problema

Aplicações

Referências

Problema simétrico do caixeiro viajante (Held & Karp)

$$\begin{aligned}
 (PI) \quad \min \quad & \sum_{e \in E} c_e x_e \\
 \text{s.a} \quad & \sum_{e \in \delta(i)} x_e = 2 \quad \forall i \in V \\
 & \sum_{e \in E(S)} x_e \leq |S| - 1 \quad \forall 2 \leq |S| \leq |V| - 1 \\
 & x_j \in \{0, 1\} \quad \forall j
 \end{aligned}$$

Dualizando restrições de dupla incidência no nó i , para $i \neq 1$

$$\begin{aligned}
 (PR_\lambda) \quad \min \quad & \sum_{e \in E} (c_e - \lambda_i - \lambda_j) x_e + 2 \sum_{i \in V} \lambda_i \\
 \text{s.a} \quad & \sum_{e \in \delta(1)} x_e = 2 \\
 & \sum_{e \in E(S)} x_e \leq |S| - 1 \quad \forall 2 \leq |S| \leq |V| - 1, 1 \notin S \\
 & \sum_{e \in E} x_e = n \\
 & x_j \in \{0, 1\} \quad \forall j
 \end{aligned}$$

Exemplo

Roteiro

Contexto

Teoria

Aspectos
práticos

Heurística
lagrangiana

Redução do
problema

Aplicações

Referências

Problema simétrico do caixeiro viajante (Held & Karp)

$$\begin{aligned}
 (PI) \quad \min \quad & \sum_{e \in E} c_e x_e \\
 \text{s.a} \quad & \sum_{e \in \delta(i)} x_e = 2 \quad \forall i \in V \\
 & \sum_{e \in E(S)} x_e \leq |S| - 1 \quad \forall 2 \leq |S| \leq |V| - 1 \\
 & x_j \in \{0, 1\} \quad \forall j
 \end{aligned}$$

Dualizando restrições de dupla incidência no nó i , para $i \neq 1$

$$\begin{aligned}
 (PR_\lambda) \quad \min \quad & \sum_{e \in E} (c_e - \lambda_i - \lambda_j) x_e + 2 \sum_{i \in V} \lambda_i \\
 \text{s.a} \quad & \sum_{e \in \delta(1)} x_e = 2 \\
 & \sum_{e \in E(S)} x_e \leq |S| - 1 \quad \forall 2 \leq |S| \leq |V| - 1, 1 \notin S \\
 & \sum_{e \in E} x_e = n \\
 & x_j \in \{0, 1\} \quad \forall j
 \end{aligned}$$

Solução de (PR_λ) é 1-árvore

Exemplo — cont.

Grafo completo com 5 nós. Matriz de custos

$$(c_e) = \begin{pmatrix} — & 30 & 26 & 50 & 40 \\ — & — & 24 & 40 & 50 \\ — & — & — & 24 & 26 \\ — & — & — & — & 30 \\ — & — & — & — & — \end{pmatrix}$$

Exemplo — cont.

Grafo completo com 5 nós. Matriz de custos

$$(c_e) = \begin{pmatrix} — & 30 & 26 & 50 & 40 \\ — & — & 24 & 40 & 50 \\ — & — & — & 24 & 26 \\ — & — & — & — & 30 \\ — & — & — & — & — \end{pmatrix}$$

Se $\lambda = (0, 0, -15, 0, 0)$ e $\bar{c}_e = c_e - \lambda_i \lambda_j$

$$(\bar{c}_e) = \begin{pmatrix} — & 30 & 42 & 50 & 40 \\ — & — & 39 & 40 & 50 \\ — & — & — & 39 & 41 \\ — & — & — & — & 30 \\ — & — & — & — & — \end{pmatrix}$$

Exemplo — cont.

1-árvore é solução ótima

Exemplo — cont.

Roteiro

Contexto

Teoria

Aspectos
práticos

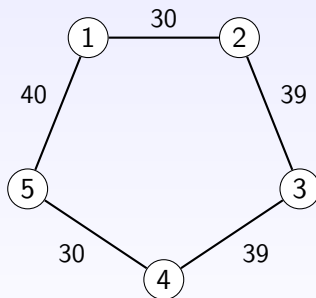
Heurística
lagrangiana

Redução do
problema

Aplicações

Referências

1-árvore é solução ótima



Decomposição lagrangiana

$$\begin{array}{ll}\min & cx \\ \text{s.a} & Ax \geq b \\ & Bx \geq d \\ & x_j \in \mathbb{Z} \quad \forall j\end{array}$$

Exemplo

Decomposição lagrangiana

$$\begin{array}{ll}\min & cx \\ \text{s.a} & Ax \geq b \\ & Bx \geq d \\ & x_j \in \mathbb{Z} \quad \forall j\end{array}$$

Introduzindo cópias das variáveis

$$\begin{array}{ll}\min & cx \\ \text{s.a} & Ax \geq b \\ & y = x \\ & By \geq d \\ & x_j, y_j \in \mathbb{Z} \quad \forall j\end{array}$$

Exemplo — cont

Roteiro

Contexto

Teoria

Aspectos
práticos

Heurística
lagrangiana

Redução do
problema

Aplicações

Referências

Dualizando as igualdades

$$\begin{array}{ll}\min & cx + \lambda(x - y) \\ \text{s.a} & Ax \geq b \\ & By \geq d \\ & x_j, y_j \in \mathbb{Z} \quad \forall j\end{array}$$

Dualizando as igualdades

$$\begin{aligned} \min \quad & cx + \lambda(x - y) \\ \text{s.a} \quad & Ax \geq b \\ & By \geq d \\ & x_j, y_j \in \mathbb{Z} \quad \forall j \end{aligned}$$

Problema pode ser decomposto

$$\begin{aligned} \min \quad & (c + \lambda)x \\ \text{s.a} \quad & Ax \geq b \\ & x_j \in \mathbb{Z} \quad \forall j \end{aligned} \quad \text{e} \quad \begin{aligned} \min \quad & -\lambda y \\ \text{s.a} \quad & By \geq d \\ & y_j \in \mathbb{Z} \quad \forall j \end{aligned}$$

Melhorando o problema relaxado

Problema de cobertura

$$\begin{aligned} (PI) \quad & \min \quad cx \\ & \text{s.a} \quad Ax \geq \mathbf{1} \\ & \quad \quad x_j \in \{0, 1\} \quad \forall j \end{aligned}$$

Melhorando o problema relaxado

Problema de cobertura

$$\begin{aligned} (PI) \quad & \min \quad cx \\ & \text{s.a} \quad Ax \geq \mathbf{1} \\ & \quad \quad x_j \in \{0, 1\} \quad \forall j \end{aligned}$$

Se A é $m \times n$, $1 \leq \sum_j x_j \leq m$ é redundante para (PI) , mas não para (PR_λ)

Melhorando o problema relaxado

Problema de cobertura

$$\begin{aligned} (PI) \quad & \min \quad cx \\ & \text{s.a} \quad Ax \geq \mathbf{1} \\ & \quad \quad x_j \in \{0, 1\} \quad \forall j \end{aligned}$$

Se A é $m \times n$, $1 \leq \sum_j x_j \leq m$ é redundante para (PI) , mas não para (PR_λ)

Introduzindo esta restrição temos cota melhor

$$\begin{aligned} (PR_\lambda) \quad & \min \quad (c - \lambda A)x + \sum_i \lambda_i = Cx + \sum_i \lambda_i \\ & \text{s.a} \quad 1 \leq \sum_j x_j \leq m \\ & \quad \quad x_j \in \{0, 1\} \quad \forall j \end{aligned}$$

Heurística lagrangiana

Roteiro

Contexto

Teoria

Aspectos
práticos

**Heurística
lagrangiana**

Redução do
problema

Aplicações

Referências

$x^*(\lambda) \rightsquigarrow \bar{x}$, solução viável para (PI)
(fornece cota superior para z_{PI})

Heurística lagrangiana

Roteiro

Contexto

Teoria

Aspectos
práticos

Heurística
lagrangiana

Redução do
problema

Aplicações

Referências

$x^*(\lambda) \rightsquigarrow \bar{x}$, solução viável para (PI)
(fornece cota superior para z_{PI})

Exemplo: problema de cobertura

- $S = \{j \mid x_j^*(\lambda) = 1\}$
- $N = \{i \mid A_{i\cdot} x^* = 0\}$
- Para $i \in N$
Seja $j \in \operatorname{argmin}\{c_j \mid a_{ij} = 1\}$
Faça $S \leftarrow S \cup \{j\}$

Exemplo

$$(c_j) = (2, 3, 4, 5)$$

Exemplo

Roteiro

Contexto

Teoria

Aspectos
práticos

**Heurística
lagrangiana**

Redução do
problema

Aplicações

Referências

$$(c_j) = (2, 3, 4, 5)$$

$$A = \begin{pmatrix} 1 & 0 & 1 & 0 \\ 1 & 0 & 0 & 1 \\ 0 & 1 & 1 & 1 \end{pmatrix}$$

Exemplo

Roteiro

Contexto

Teoria

Aspectos
práticos

**Heurística
lagrangiana**

Redução do
problema

Aplicações

Referências

$$(c_j) = (2, 3, 4, 5)$$

$$A = \begin{pmatrix} 1 & 0 & 1 & 0 \\ 1 & 0 & 0 & 1 \\ 0 & 1 & 1 & 1 \end{pmatrix}$$

$$\lambda = (1.5, 1.6, 2.2)$$

Exemplo

Roteiro

Contexto

Teoria

Aspectos
práticos

**Heurística
lagrangiana**

Redução do
problema

Aplicações

Referências

$$(c_j) = (2, 3, 4, 5)$$

$$A = \begin{pmatrix} 1 & 0 & 1 & 0 \\ 1 & 0 & 0 & 1 \\ 0 & 1 & 1 & 1 \end{pmatrix}$$

$$\lambda = (1.5, 1.6, 2.2)$$

$$x^*(\lambda) = (1, 0, 0, 0)$$

Exemplo

Roteiro

Contexto

Teoria

Aspectos
práticos

Heurística
lagrangiana

Redução do
problema

Aplicações

Referências

$$(c_j) = (2, 3, 4, 5)$$

$$A = \begin{pmatrix} 1 & 0 & 1 & 0 \\ 1 & 0 & 0 & 1 \\ 0 & 1 & 1 & 1 \end{pmatrix}$$

$$\lambda = (1.5, 1.6, 2.2)$$

$$x^*(\lambda) = (1, 0, 0, 0)$$

Aplicando o procedimento:

$S = \{1\}$, $N = \{3\}$ e $j = 2$

$\Rightarrow \bar{x} = (1, 1, 0, 0)$ (solução ótima!)

Redução do problema

Dimensão reduzida via fixação de variáveis

Exemplo: problema de cobertura

- $x^* = x^*(\lambda)$ inviável

Redução do problema

Roteiro

Contexto

Teoria

Aspectos
práticos

Heurística
lagrangiana

Redução do
problema

Aplicações

Referências

Dimensão reduzida via fixação de variáveis

Exemplo: problema de cobertura

- $x^* = x^*(\lambda)$ inviável
- $x^H = x^* + y$ viável, y obtido com algoritmo guloso, como na heurística lagrangiana

Redução do problema

Roteiro

Contexto

Teoria

Aspectos
práticos

Heurística
lagrangiana

Redução do
problema

Aplicações

Referências

Dimensão reduzida via fixação de variáveis

Exemplo: problema de cobertura

- $x^* = x^*(\lambda)$ inviável
- $x^H = x^* + y$ viável, y obtido com algoritmo guloso, como na heurística lagrangiana
- $N_1 = \{j \mid c_j - \sum_i \lambda_i a_{ij} > 0\}$
 $N_0 = \{j \mid c_j - \sum_i \lambda_i a_{ij} < 0\} \subseteq \{j \mid x_j^* = 1\}$

Redução do problema

Roteiro

Contexto

Teoria

Aspectos
práticos

Heurística
lagrangiana

Redução do
problema

Aplicações

Referências

Dimensão reduzida via fixação de variáveis

Exemplo: problema de cobertura

- $x^* = x^*(\lambda)$ inviável
- $x^H = x^* + y$ viável, y obtido com algoritmo guloso, como na heurística lagrangiana
- $N_1 = \{j \mid c_j - \sum_i \lambda_i a_{ij} > 0\}$
 $N_0 = \{j \mid c_j - \sum_i \lambda_i a_{ij} < 0\} \subseteq \{j \mid x_j^* = 1\}$
- \bar{z} = melhor cota superior conhecida (valor de melhor solução viável conhecida)

Proposição (Wolsey, p. 178)

Se $k \in N_1$ e

$$\sum_i \lambda_i + \sum_{j \in N_0} (c_j - \sum_i \lambda_i a_{ij}) + (c_k - \sum_i \lambda_i a_{ik}) \geq \bar{z}$$

então $x_k = 0$ em qualquer solução viável melhor do que a atual candidata.

Se $k \in N_0$ e

$$\sum_i \lambda_i + \sum_{j \in N_0 \setminus k} (c_j - \sum_i \lambda_i a_{ij}) + (c_k - \sum_i \lambda_i a_{ik}) \geq \bar{z}$$

então $x_k = 1$ em qualquer solução viável melhor do que a atual candidata.

Aplicações

Line segmentation problem

Aplicações

Line segmentation problem

Problema de designação generalizado

Line segmentation problem

Problema de designação generalizado

Problema de localização com capacidades

Line segmentation problem

Problema de designação generalizado

Problema de localização com capacidades

Problema de entregas

Line segmentation problem

Problema de designação generalizado

Problema de localização com capacidades

Problema de entregas

Problema do caixeiro viajante assimétrico generalizado

Line segmentation problem

Problema de designação generalizado

Problema de localização com capacidades

Problema de entregas

Problema do caixeiro viajante assimétrico generalizado

Problema do particionamento de operações

Line segmentation problem

Problema de designação generalizado

Problema de localização com capacidades

Problema de entregas

Problema do caixeiro viajante assimétrico generalizado

Problema do particionamento de operações

Problema de cobertura com capacidade

Line segmentation problem

Problema de designação generalizado

Problema de localização com capacidades

Problema de entregas

Problema do caixeiro viajante assimétrico generalizado

Problema do particionamento de operações

Problema de cobertura com capacidade

Problema de designação multi-recurso

Line segmentation problem

Problema de designação generalizado

Problema de localização com capacidades

Problema de entregas

Problema do caixeiro viajante assimétrico generalizado

Problema do particionamento de operações

Problema de cobertura com capacidade

Problema de designação multi-recurso

Problema de designação com restrições adicionais

Line segmentation problem

Problema de designação generalizado

Problema de localização com capacidades

Problema de entregas

Problema do caixeiro viajante assimétrico generalizado

Problema do particionamento de operações

Problema de cobertura com capacidade

Problema de designação multi-recurso

Problema de designação com restrições adicionais

Problema de distribuição

Referências

- J.E. Beasley**, Lagrangean relaxation, in *Modern Heuristic Techniques for Combinatorial Problems*, C. Reeves (ed.), Blackwell Scientific Publishing (1993) 143–303.
- M. Held, R.M. Karp**, The traveling salesman problem and minimum spanning trees, *Operations Research* **18** (1970), 1138–1162.
- M. Held, R.M. Karp**, The traveling salesman problem and minimum spanning trees: part II, *Mathematical Programming* **1** (1971), 6–25.
- G.L. Nemhauser, L.A. Wolsey**, *Integer and Combinatorial Optimization*, Wiley, New York, 1988.

Referências — cont.

L.A. Wolsey, *Integer Programming*, Wiley, New York, 1998.